

QUELQUES RESULTATS SUR L'IDENTIFICATION DE DOMAINES

JEAN CÉA ⁽¹⁾ - ALAIN GIOAN ⁽¹⁾ - JEAN MICHEL ⁽¹⁾

RÉSUMÉ - Dans cet article, les auteurs s'intéressent à un problème d'identification (ou de contrôle) où l'objet à identifier (ou à contrôler) est un ouvert de \mathbb{R}^n . Ils caractérisent un ouvert « critique » et donnent une méthode numérique ainsi que des résultats numériques.

ABSTRACT - In this paper, the authors study an identification (or control) problem where the object to identify (or to control) is an open set of \mathbb{R}^n . They characterize a « critical » open set and they give a numerical method and some numerical results.

Introduction.

Dans de nombreux problèmes, il est question de chercher la frontière Γ d'un ouvert Ω de \mathbb{R}^n , cet ouvert étant soumis à certaines contraintes. Naturellement, il est possible d'introduire un repérage de la frontière Γ , ce repérage dépendant d'un certain nombre de paramètres ; on est alors ramené à une identification de paramètres. Dans ce qui suit, nous proposons une méthode indépendante du choix du repérage, ce choix intervenant seulement dans la dernière étape de l'identification : celle de la mise en oeuvre de la méthode numérique. Dans le n^o 1, nous avons introduit les notions de différentielle d'une fonctionnelle, la variable étant un domaine, puis celle de point critique, c'est-à-dire d'un point où le gradient est nul. Le n^o 2 est consacré à l'approximation d'un point critique ; dans les n^os 3 et 4 nous étudions un exemple et nous donnons des résultats numériques.

1. Position du problème ; définitions et notations.

Soit \square un compact de \mathbb{R}^n ; soit Ω un ouvert de \square ; à partir de Ω , on définit une fonction coût, éventuellement par l'intermédiaire d'une fonction d'état y_Ω , Ω étant alors le contrôle.

DÉFINITION 1.1 : (Accroissement $\delta\Omega$ de Ω).

Parvenu le 25-10-1972.

⁽¹⁾ U. E. R. M. S. T., Parc Valrose, NICE.

Soient deux ouverts $\delta\Omega^+$ et $\delta\Omega^-$ de \square tels que

$$(1.1) \quad \begin{cases} \delta\Omega^+ \cap \Omega = \emptyset \\ \delta\Omega^- \subset \Omega \end{cases}$$

On pose

$$\Omega + \delta\Omega = \{x \mid x \in \delta\Omega^+ \text{ ou bien } x \in \Omega \text{ et } x \notin \delta\Omega^-\}$$

$$(1.2) \quad \Omega + \delta\Omega = \delta\Omega^+ \cup (\Omega \cap \delta\Omega^-)$$

On emploiera aussi les notations suivantes :

$$\begin{cases} \Omega + \delta\Omega = \Omega + \delta\Omega^+ - \delta\Omega^- \\ |\delta\Omega| = \delta\Omega^+ \cup \delta\Omega^- \end{cases}$$

Notons que, étant donnés Ω et Δ dans \square , on peut toujours définir $\delta\Omega$ tel que

$$\Delta = \Omega + \delta\Omega.$$

Afin de ne pas avoir à préciser si certains morceaux de frontière sont inclus ou non dans certains domaines, nous confondrons Δ avec $\frac{\circ}{\Delta}$ pour tout ouvert de \square .

DÉFINITION 1.2 : On dira que $\Omega + \delta\Omega \rightarrow \Omega$ si $\text{mes}(|\delta\Omega|) \rightarrow 0$.

DÉFINITION 1.3 : L'ensemble des ouverts de \square , muni de la notion de continuité précédente, est désigné par \mathcal{A} ; on peut alors poser le

PROBLÈME : Il s'agit du problème

$$\inf J(\Omega)$$

$$\Omega \in \mathcal{A}$$

En vue d'une utilisation des méthodes de descente dans la minimisation de J , il est important d'obtenir un « développement limité » de J .

Sur l'ensemble \mathcal{A} , on peut définir des formes additives continues très simples : soit $G \in L^\infty(\square)$, à tout $\Delta \in \mathcal{A}$ on associe le nombre $\int_{\Delta} G(x) dx$ et on a :

$$(1.3) \quad \left| \int_{\Delta} G(x) dx \right| \leq \|G\|_{L^\infty(\square)} \cdot \text{mes}(\Delta)$$

et si $\Delta_1 \cap \Delta_2 = \emptyset$

$$\int_{\Delta_1} G(x) dx + \int_{\Delta_2} G(x) dx = \int_{\Delta_1 \cup \Delta_2} G(x) dx.$$

Nous allons limiter notre étude au cas des fonctionnelles J qui, quels que soient les ouverts Δ , $\Omega \in \mathcal{A}$, vérifient :

$$J(\Delta) = J(\Omega) + S_{\Omega}(\Delta) - S_{\Omega}(\Omega) + T_{\Omega}(\Delta)$$

où $\Delta \rightarrow S_{\Omega}(\Delta)$ est une forme additive continue du type précédent, c'est-à-dire qu'il existe $G_{\Omega} \in L^{\infty}(\square)$ telle que

$$S_{\Omega}(\Delta) = \int_{\Delta} G_{\Omega}(x) dx$$

et où $T_{\Omega}(\Delta)$ vérifie :

$$\begin{cases} |T_{\Omega}(\Delta)| \leq C_{\Omega} \cdot \text{mes}^2(|\delta\Omega|) \\ \Delta = \Omega + \delta\Omega \end{cases}$$

Avec l'accroissement $\delta\Omega$, on peut introduire des notations plus simples :

$$T_1(\Omega, \delta\Omega) = S_{\Omega}(\Omega + \delta\Omega) - S_{\Omega}(\Omega) = \int_{\delta\Omega^+} G_{\Omega}(x) dx - \int_{\delta\Omega^-} G_{\Omega}(x) dx$$

ce qui, pour être plus concis, sera noté

$$T_1(\Omega, \delta\Omega) = \int_{\delta\Omega} G_{\Omega}(x) dx$$

puis

$$T_2(\Omega, \delta\Omega) = T_{\Omega}(\Omega + \delta\Omega).$$

Finalement, on a le « développement limité » suivant :

$$(1.4) \quad J(\Omega + \delta\Omega) = J(\Omega) + T_1(\Omega, \delta\Omega) + T_2(\Omega, \delta\Omega)$$

avec

$$(1.5) \quad \begin{cases} T_1(\Omega, \delta\Omega) = \int_{\delta\Omega} G_{\Omega}(x) dx, \quad G_{\Omega} \in L^{\infty}(\square) \\ |T_1(\Omega, \delta\Omega)| \leq \|G_{\Omega}\|_{L^{\infty}(\square)} \cdot \text{mes}(|\delta\Omega|) \\ |T_2(\Omega, \delta\Omega)| \leq C_{\Omega} \cdot \text{mes}^2(|\delta\Omega|). \end{cases}$$

Au sujet de la variation d'une fonctionnelle par rapport à un domaine, cf: BERGMAN, S. and SCHIFFER, M. [1] et HADAMARD, J. [3].

REMARQUE 1.1 : La forme additive continue $\Delta \rightarrow \int_{\Delta} G_{\Omega}(x) dx$ joue le rôle de la différentielle de la fonctionnelle J , calculée en Ω ; la fonction G_{Ω} représente le gradient de J en Ω .

REMARQUE 1.2 : Si $G \in L^1(\square)$, alors $\Delta \rightarrow \int_{\Delta} G(x) dx$ est encore une forme additive continue, mais on n'a plus une majoration uniforme du type (1.3).

DÉFINITION 1.4 :

i) L'ensemble des fonctions J définies sur \mathcal{A} , à valeurs dans \mathbb{R} et qui admettent un développement limité du type (1.4), (1.5) est désigné par \mathcal{J} .

ii) $J \in \mathcal{J}$ atteint en $\Omega \in \mathcal{A}$ un minimum local si $\exists r > 0$ tel que

$$(1.6) \quad \begin{cases} J(\Omega) \leq J(\Omega + \delta\Omega) \\ \forall \delta\Omega \text{ tel que } \Omega + \delta\Omega \in \mathcal{A}, \text{ mes}(|\delta\Omega|) \leq r \end{cases}$$

iii) $\Omega \in \mathcal{A}$ est un point critique de $J \in \mathcal{J}$ s'il existe $r > 0$ tel que

$$(1.7) \quad \begin{cases} T_1(\Omega, \delta\Omega) \geq 0 & \forall \delta\Omega \text{ tel que} \\ \Omega + \delta\Omega \in \mathcal{A}, \text{ mes}(|\delta\Omega|) \leq r. \end{cases}$$

REMARQUE 1.3 : Dans le cas de la minimisation sans contrainte dans un espace de Hilbert, un point critique est un point où le gradient est nul.

PROPOSITION 1.1 : Une condition nécessaire et suffisante pour que $\Omega \in \mathcal{A}$ soit un point critique de $J \in \mathcal{J}$ est que :

$$(1.8) \quad \begin{cases} G_{\Omega}(x) \geq 0 & \forall x \in \complement \Omega \\ G_{\Omega}(x) \leq 0 & \forall x \in \Omega. \end{cases}$$

DÉMONSTRATION : On peut écrire (1.7) sous la forme :

$$(1.7)' \quad \begin{cases} \int_{\delta\Omega^+} G_{\Omega}(x) dx - \int_{\delta\Omega^-} G_{\Omega}(x) dx \geq 0 \\ \forall \delta\Omega^+ \subset \complement \Omega, \forall \delta\Omega^- \subset \Omega, \text{mes}(\delta\Omega^+) + \text{mes}(\delta\Omega^-) \leq r \end{cases}$$

L'équivalence entre (1.7)' et (1.8) est alors évidente.

PROPOSITION 1.2 : Si $J \in \mathcal{J}$ et admet un minimum local en $\Omega \in \mathcal{A}$, alors Ω est un point critique de J .

DÉMONSTRATION : En effet, d'après le point ii) de la définition 1.4, il existe $r > 0$ tel que :

$$\begin{cases} J(\Omega + \delta\Omega) = J(\Omega) + T_1(\Omega, \delta\Omega) + T_2(\Omega, \delta\Omega) \geq J(\Omega) \\ \forall \Omega + \delta\Omega \in \mathcal{A}, \text{mes}(|\delta\Omega|) \leq r \end{cases}$$

ou encore :

$$\begin{cases} \int_{\delta\Omega^+} G_\Omega(x) dx - \int_{\delta\Omega^-} G_\Omega(x) dx + T_2(\Omega, \delta\Omega) \geq 0 \\ \forall \delta\Omega^+ \subset \mathbb{G}\Omega, \forall \delta\Omega^- \subset \Omega, \text{mes}(\delta\Omega^+) + \text{mes}(\delta\Omega^-) \leq r \end{cases}$$

d'où

$$(1.9) \quad \begin{cases} - \int_{\delta\Omega^+} G_\Omega(x) dx + \int_{\delta\Omega^-} G_\Omega(x) dx \leq C_\Omega \cdot \text{mes}^2(|\delta\Omega|) \\ \forall \delta\Omega^+ \subset \mathbb{G}\Omega, \forall \delta\Omega^- \subset \Omega, \text{mes}(\delta\Omega^+) + \text{mes}(\delta\Omega^-) \leq r. \end{cases}$$

A partir de (1.9), on démontre facilement que (1.8) a lieu.

2. Approximation d'un point critique.

A ce stade nous devons préciser la définition de Ω ; dans certains problèmes, Ω sera défini par une équation du type $f(x, u) \leq 0$ où le paramètre u est dans un ensemble \mathcal{U} ; il en est ainsi lorsque par exemple, on cherche à localiser un objet de forme donnée; cf. par exemple KOENIG, M. et ZOLÉSIO, J. P. [4]; dans les problèmes auxquels nous allons nous intéresser, la présence d'équations aux dérivées partielles nous suggère d'introduire des «éléments finis».

Nous allons supposer que \square a été partagé en éléments finis Δ_i , $i \in I = \{1, 2, \dots, N\}$

$$\begin{cases} \square = \bigcup_{i \in I} \bar{\Delta}_i \\ \Delta_i \cap \Delta_j = \emptyset \quad \forall i, j \in I, \quad i \neq j \end{cases}$$

Pour simplifier, nous supposons que

$$\text{mes } \Delta_i = h \quad \forall i \in I.$$

DÉFINITION 2.1 :

i) l'ensemble \mathcal{A}_A est défini par : $\Omega \in \mathcal{A}_A$ s'il existe $I_\Omega \subset I$ tel que

$$\Omega = \bigcup_{i \in I_\Omega} A_i$$

ii) Ω est dit ε -critique de J dans \mathcal{A}_A si $\Omega \in \mathcal{A}_A$ et si

$$(2.1) \quad \begin{cases} \frac{1}{\text{mes } A_i} \int_{A_i} G_\Omega(x) dx \geq -\varepsilon \quad \forall A_i \subset \complement \Omega \\ \frac{1}{\text{mes } A_i} \int_{A_i} G_\Omega(x) dx \leq +\varepsilon \quad \forall A_i \subset \Omega \end{cases}$$

Remarquons qu'au point de vue numérique, si ε est un nombre positif assez petit, un domaine Ω pour lequel (2.1) a lieu paraît être une bonne approximation d'un domaine pour lequel (1.8) a lieu.

Nous allons présenter maintenant un algorithme (et une variante de cet algorithme) qui permet d'atteindre un point ε -critique, ε étant convenablement choisi ; pour cela à partir d'un domaine Ω_0 nous allons construire une suite Ω_m :

REPÉRAGE DE Ω_m : Un domaine Ω_m est défini par la donnée d'un sous-ensemble I_m de I :

$$\Omega_m = \bigcup_{i \in I_m} A_i$$

PASSAGE DE Ω_m A Ω_{m+1} : Il se fait en sélectionnant deux ensembles I_m^+ et I_m^- qui vérifient en particulier

$$(2.2) \quad \begin{cases} I_m^+ \subset \complement I_m \\ I_m^- \subset I_m \end{cases}$$

A partir de là on posera :

$$I_{m+1} = \{j \mid "j \in I_m^+" \text{ ou } "j \in I_m, j \notin I_m^-" \} = I_m^+ \cup (I_m \cap \complement I_m^-)$$

et alors

$$\left\{ \begin{array}{l} \Omega_{m+1} = \Omega_m + \delta\Omega_m \\ \delta\Omega_m^+ = \sum_{i \in I_m^+} \Delta_i \\ \delta\Omega_m^- = \sum_{i \in I_m^-} \Delta_i \end{array} \right.$$

Avant de présenter les différents choix de I_m^+ et de I_m^- , nous allons faire une hypothèse : la fonctionnelle J appartient à \mathcal{J} et de plus on a une majoration uniforme :

$$(2.3) \quad \left\{ \begin{array}{l} \forall \Omega, \Omega + \delta\Omega \in \mathcal{A}_A \quad \text{on a :} \\ |T_2(\Omega, \delta\Omega)| \leq M \cdot \text{mes}^2(|\delta\Omega|) \end{array} \right.$$

ALGORITHME 1 : En fait il s'agit d'une famille d'algorithmes.

Soit θ un nombre donné, $\theta > 0$; nous choisissons I_m^+ et I_m^- (non vides lorsque cela est possible) tels que (2.2) et (2.4) aient lieu :

$$(2.4) \quad T_1(\Omega_m, \delta\Omega_m) \leq -(1 + \theta) M \text{mes}^2(|\delta\Omega_m|)$$

Nous allons démontrer le

THÉORÈME 2.1 : Sous les hypothèses $J \in \mathcal{J}$ et (2.3), l'algorithme 1 est convergent au sens suivant : il existe un entier k tel que Ω_k soit un point $(1 + \theta)M \cdot h$ critique de J dans \mathcal{A}_A .

DÉMONSTRATION : A partir de (1.4), (2.3) et (2.4) il vient :

$$J(\Omega_{m+1}) \leq J(\Omega_m) - (1 + \theta) M \text{mes}^2(|\delta\Omega_m|) + M \text{mes}^2(|\delta\Omega_m|)$$

c'est-à-dire :

$$(2.5) \quad J(\Omega_{m+1}) + \theta M \text{mes}^2(|\delta\Omega_m|) \leq J(\Omega_m)$$

si I_m^+ et I_m^- sont non vides, $J(\Omega_{m+1}) < J(\Omega_m)$; l'ensemble \mathcal{A}_A n'ayant qu'un nombre fini d'éléments, nécessairement il existera k fini tel que

$$I_k^+ = I_k^- = \emptyset$$

autrement dit, il n'est plus possible de trouver I_k^+ et I_k^- tels que (2.2) et (2.4) (avec $m = k$) aient lieu : cela signifie que $\forall \delta\Omega$ tel que $\Omega_k + \delta\Omega \in \mathcal{A}_d$ on a :

$$T_1(\Omega_m, \delta\Omega) > -(1 + \theta) M \text{mes}^2(|\delta\Omega|)$$

en particulier

$$(2.6) \quad \left\{ \begin{array}{l} \forall \Delta_i \subset \Omega_k : \\ \int_{\Delta_i} G_k(x) dx < (1 + \theta) M \text{mes}^2(\Delta_i) \end{array} \right.$$

$$(2.7) \quad \left\{ \begin{array}{l} \forall \Delta_i \subset \complement \Omega_k : \\ \int_{\Delta_i} G_k(x) dx > -(1 + \theta) M \text{mes}^2(\Delta_i) \end{array} \right.$$

où $G_k = G_{\Omega_k}$

Les relations (2.6) et (2.7) signifient que Ω_k est un point $(1 + \theta) M h$ -critique de J dans \mathcal{A}_d .

MISE EN OEUVRE DE L'ALGORITHME : Posons :

$$\left\{ \begin{array}{l} s_m^i = \frac{\theta_m^i}{(1 + \theta) M h^2} \int_{\Delta_i} G_m(x) dx \\ \theta_m^i = \begin{cases} +1 & \text{si } i \in I_m \\ -1 & \text{si } i \in \complement I_m \end{cases} \\ I_m^\pm = I_m^+ \cup I_m^- \end{array} \right.$$

Alors la relations (2.4) s'écrit :

$$(2.4)' \quad \sum_{i \in I_m^\pm} s_m^i \geq (\text{card } I_m^\pm)^2$$

et (2.5) devient

$$(2.5)' \quad J(\Omega_{m+1}) + \theta M h^2 (\text{card } I_m^\pm)^2 \leq J(\Omega_m).$$

Classons les s_m^i par ordre décroissant :

$$(2.9) \quad s_m^{j_1} \geq s_m^{j_2} \geq \dots \geq s_m^{j_N}$$

Nous allons donner maintenant les choix de I_m^+ et de I_m^- : soit q un nombre entier tel que :

$$(2.10) \quad \begin{cases} \sum_{i=1}^q s_m^{j_i} \geq q^2 \\ q = \text{nombre entier} \geq 1 \end{cases}$$

Alors I_m^+ et I_m^- sont définis par :

$$(2.11) \quad \begin{cases} I_m^+ = \mathbb{C} I_m \cap \{j_1, \dots, j_q\} \\ I_m^- = I \cap \{j_1, \dots, j_q\} \end{cases}$$

les 2 ensembles I_m^+ et I_m^- vérifient bien les relations (2.2) et (2.4) [voir (2.11) et (2.10) qui est une autre façon d'écrire (2.4)].

REMARQUE 2.1 : s'il n'existe pas $q \geq 1$ vérifiant (2.10) alors Ω_m est le point cherché dans \mathcal{A}_A .

REMARQUE 2.2 : D'après (2.5)' il semble qu'on doive choisir q le plus grand nombre entier pour lequel (2.10) a lieu.

REMARQUE 2.3 : Si après avoir classé un certain nombre de s_m^i , on peut trouver un entier q pour lequel (2.10) a lieu, on peut alors définir I_m^+ et I_m^- par (2.11).

REMARQUE 2.4 : Grâce au classement des s_m^i on a :

$$\begin{cases} T_1(\Omega_m, \delta\Omega_m) \leq T_1(\Omega_m, \delta\Omega) \\ \forall \delta\Omega \text{ tel que } \text{mes}(|\delta\Omega|) = \text{mes}(|\delta\Omega_m|) > 0. \end{cases}$$

Si J était une fonctionnelle définie sur un espace de Hilbert V , de produit scalaire noté $(\cdot, \cdot)_V$, la relation :

$$\begin{cases} (G_m, \delta u_m) \leq (G_m, \delta v) \\ \forall \delta v \text{ tel que } \|\delta v\|_V = \|\delta u_m\|_V > 0 \end{cases}$$

entraînerait :

$$\begin{cases} \delta u_m = - \varrho_m \cdot G_m \\ \varrho_m = \frac{\|\delta u_m\|}{\|G_m\|} \end{cases}$$

Ainsi l'accroissement $u_{m+1} - u_m = \delta u_m$ serait proportionnel au gradient ; le choix de ϱ_m fixe la norme de l'accroissement ; l'algorithme 1 est donc l'adaptation de la méthode classique du gradient au problème traité.

REMARQUE 2.5 : On pourrait facilement tenir compte des contraintes du type

$$\tilde{\Omega} \subset \Omega \subset \hat{\Omega}$$

où $\tilde{\Omega}$ et $\hat{\Omega}$ sont deux ouverts donnés.

Nous allons maintenant présenter l'

ALGORITHME 2 : Il est basé sur la propriété caractéristique (1.8) d'un point critique ; si $\Omega \in \mathcal{A}_A$ est un point critique de J , alors d'après (1.8) on a :

$$\begin{cases} \int_{A_i} G_{\Omega}(x) dx \geq 0 & \forall A_i \subset \complement \Omega \\ \int_{A_i} G_{\Omega}(x) dx \leq 0 & \forall A_i \subset \Omega. \end{cases}$$

Cela nous permet d'introduire le nouvel algorithme :

PASSAGE DE Ω_m A Ω_{m+1} : On pose

$$t_m^i = \int_{A_i} G_m(x) dx$$

et on définit \tilde{I}_{m+1} et $\tilde{\Omega}_{m+1}$ par :

$$\begin{cases} i \in \tilde{I}_{m+1} \iff t_m^i \leq 0 \\ \tilde{\Omega}_{m+1} = \bigcup_{i \in \tilde{I}_{m+1}} A_i \end{cases}$$

a) si $J(\tilde{\Omega}_{m+1}) < J(\Omega_m)$ alors on pose

$$I_{m+1} = \tilde{I}_{m+1}$$

$$\Omega_{m+1} = \tilde{\Omega}_{m+1}$$

b) sinon on fait une itération selon l'algorithme 1.

On démontre facilement un théorème analogue au précédent.

REMARQUE 2.6 : Dans cet algorithme il n'est plus nécessaire de classer les s_m^i ; par contre il faudra calculer $J(\tilde{\Omega}_{m+1})$ ce qui peut être long.

3. Un exemple.

Dans le compact \square de \mathbb{R}^n , on donne deux ouverts non vides $\tilde{\Omega}$ et $\hat{\Omega}$ tels que $\tilde{\Omega} \subset \hat{\Omega}$ et $\hat{\Omega} \subset \square$; tous les ouverts Ω considérés dans la suite vérifieront les contraintes

$$\tilde{\Omega} \subset \Omega \subset \hat{\Omega}.$$

Pour tout ouvert Ω , on considère la forme bilinéaire

$$a(\Omega, y, \varphi) = \alpha(y, \varphi)_V + \int_{\Omega} \nabla y(x) \cdot \nabla \varphi(x) dx + \beta \int_{\Omega'} \nabla y(x) \cdot \nabla \varphi(x) dx + \int_{\square} y(x) \varphi(x) dx$$

- où V est l'espace de Sobolev $H^m(\square)$, m étant assez grand pour que $H^m(\square) \subset \mathcal{C}^1(\square)$. cf. par exemple LIONS J, L. et MAGENES E. [5].
- $\nabla y(x)$ est le gradient de y calculé en x
- α et β sont des constantes strictement positives données
- $\Omega' = \square \setminus \Omega$.

On considère aussi la forme linéaire

$$L(\varphi) = \int_{\square} f(x) \varphi(x) dx$$

où f est donnée dans $L^2(\square)$.

On définit alors y_Ω par

$$(3.1) \quad \begin{cases} y_\Omega \in V \\ a(\Omega, y_\Omega, \varphi) = L(\varphi) \\ \forall \varphi \in V \end{cases}$$

Soit maintenant y_d donné dans $L^2(\square)$, on pose :

$$J(\Omega) = \frac{1}{2} \|y_\Omega - y_d\|_{L^2(\square)}^2.$$

On s'intéresse au

PROBLÈME

$$\inf_{\Omega} J(\Omega).$$

Ce problème, sous forme un peu différente, nous a été communiqué par MM. GASTINEL et SABONADIÈRE que nous remercions vivement; il s'agissait de trouver la forme « optimale » d'un isolant; dans le problème traité ici, Ω et Ω' représentent deux diélectriques de constantes 1 et β ; le terme $\alpha(y, \varphi)$ a été introduit pour des questions de régularité, α étant « assez petit »; le terme $\int_{\square} y(x) \varphi(x) dx$ pourrait être supprimé.

Nous allons montrer que ce problème entre dans le cadre des nos 1 et 2: il s'agira essentiellement de vérifier que (1.4), (1.5) et (2.3) ont lieu.

Soient Ω et $\Omega + \delta\Omega \in \mathcal{A}$: définissons y et z par

$$(3.2) \quad \begin{cases} y \in V \\ a(\Omega, y, \varphi) = L(\varphi) \quad \forall \varphi \in V \end{cases}$$

$$(3.3) \quad \begin{cases} z \in V \\ a(\Omega + \delta\Omega, z, \varphi) = L(\varphi) \quad \forall \varphi \in V \end{cases}$$

(notons que $y = y_\Omega$, $z = y_{\Omega + \delta\Omega}$)

On obtient alors les relations suivantes :

$$(3.4) \quad \left\{ \begin{aligned} a(\Omega, z-y, \varphi) &= (\beta-1) \left(\int_{\partial\Omega^+} \nabla z(x) \cdot \nabla \varphi(x) dx - \int_{\partial\Omega^-} \nabla z(x) \cdot \nabla \varphi(x) dx \right) \\ &= (\beta-1) \left(\int_{\partial\Omega^+} \nabla y(x) \cdot \nabla \varphi(x) dx - \int_{\partial\Omega^-} \nabla y(x) \cdot \nabla \varphi(x) dx \right) \\ &\quad + (\beta-1) \left(\int_{\partial\Omega^+} \nabla (z-y)(x) \cdot \nabla \varphi(x) dx - \int_{\partial\Omega^-} \nabla (z-y)(x) \cdot \nabla \varphi(x) dx \right) \end{aligned} \right.$$

et

$$(3.5) \quad J(\Omega + \delta\Omega) = J(\Omega) + (y - y_d, z - y)_{L^2(\square)} + \frac{1}{2} \|z - y\|_{L^2(\square)}^2.$$

Définissons alors un état adjoint p par

$$(3.6) \quad \begin{cases} p \in V \\ a(\Omega, \varphi, p) = (y - y_d, \varphi) \quad \forall \varphi \in V. \end{cases}$$

En faisant $\varphi = z - y$ dans (3.6) et $\varphi = p$ dans (3.4), on obtient

$$(3.7) \quad \left\{ \begin{aligned} J(\Omega + \delta\Omega) &= J(\Omega) + T_1(\Omega, \delta\Omega) + T_2(\Omega, \delta\Omega) \\ T_1(\Omega, \delta\Omega) &= \int_{\partial\Omega} G(x) dx \\ G(x) &= (\beta - 1) \nabla y(x) \cdot \nabla p(x) \\ T_2(\Omega, \delta\Omega) &= \int_{\partial\Omega} (\beta - 1) \nabla (z - y)(x) \cdot \nabla p(x) dx + \frac{1}{2} \|z - y\|_{L^2(\square)}^2. \end{aligned} \right.$$

On a le :

THÉORÈME 3.1 : Sous les données et hypothèses précédentes, la fonctionnelle J vérifie (3.7); de plus $\forall \Omega, \Omega + \delta\Omega \in \mathcal{A}$ on a :

$$(3.8) \quad G \in L^\infty(\square)$$

$$(3.9) \quad |T_2(\Omega, \delta\Omega)| \leq M \cdot \text{mes}^2(|\delta\Omega|)$$

où M est une constante qui ne dépend que des données du problème.

DÉMONSTRATION : Remarquons tout d'abord que (3.7), (3.8), (3.9) montrent que (1.4), (1.5), et (2.3) ont lieu et qu'on peut alors appliquer les résultats des n^{os} précédents.

En faisant $\varphi = y$ dans (3.2), on obtient facilement :

$$(3.10) \quad \begin{cases} \|y\|_V \leq \frac{1}{\alpha_1} \|f\|_{L^1(\square)} \\ \alpha_1 = \min\{\alpha, 1, \beta\}. \end{cases}$$

De même avec (3.3) et (3.6) il viendrait :

$$(3.11) \quad \|z\|_V \leq \frac{1}{\alpha_1} \|f\|_{L^1(\square)}$$

et

$$(3.12) \quad \|p\|_V \leq \frac{1}{\alpha_1} \|y - y_d\|_{L^1(\square)}.$$

Dans la suite nous allons introduire des constantes α_i et k_i : ces constantes ne dépendront que des données du problème.

Puisque m est tel que $H^m(\square) \subset C^1(\square)$, $\forall u \in H^m(\square)$ on a :

$$(3.13) \quad \|u\|_{C^1(\square)} \leq \alpha_2 \|u\|_V$$

les inégalités (3.10), (3.11) et (3.12) entraînent alors :

$$(3.14) \quad \begin{cases} \|y\|_{C^1(\square)} \leq k_0 \\ \|z\|_{C^1(\square)} \leq k_0 \\ \|p\|_{C^1(\square)} \leq k_0 \end{cases}$$

La relation (3.8) est alors évidente ; démontrons (3.9) :

En choisissant $\varphi = z - y$ dans (3.4) on obtient facilement :

$$(3.15) \quad \begin{cases} \alpha \|y - z\|_V^2 \leq |\beta - 1| \left(\int_{|\delta\Omega|} |\nabla z(x)|^2 dx + \int_{|\delta\Omega|} |\nabla(z - y)(x)|^2 dx \right)^{1/2} \\ (|\delta\Omega| = \delta\Omega^+ \cup \delta\Omega^-) \end{cases}$$

mais si $\Delta \subset \square$ et $u \in \mathcal{C}^1(\square)$, on a :

$$(3.16) \quad \int_{\Delta} |\nabla u(x)|^2 dx \leq \alpha_3 \|u\|_{\mathcal{C}^1(\square)}^2 \cdot \text{mes}(\Delta)$$

alors

$$\begin{cases} \int_{|\delta\Omega|} |\nabla z(x)|^2 dx \leq \alpha_3 \|z\|_{\mathcal{C}^1(\square)}^2 \cdot \text{mes}(|\delta\Omega|) \leq \alpha_2^2 \alpha_3 \|z\|_{\nabla}^2 \text{mes}(|\delta\Omega|) \\ \int_{|\delta\Omega|} |\nabla(z-y)(x)|^2 dx \leq \alpha_3 \|z-y\|_{\mathcal{C}^1(\square)}^2 \cdot \text{mes}(|\delta\Omega|) \leq \alpha_2^2 \alpha_3 \|z-y\|_{\nabla}^2 \text{mes}(|\delta\Omega|) \end{cases}$$

ce qui avec (3.15) et (3.11) entraîne :

$$(3.17) \quad \|y - z\|_{\nabla} \leq k_1 \text{mes}(|\delta\Omega|)$$

En appliquant (3.16) à p il viendrait :

$$(3.18) \quad \int_{|\delta\Omega|} |\nabla p(x)|^2 dx \leq k_2 \text{mes}(|\delta\Omega|)$$

A partir de (3.17), de (3.18) et de la définition de $T_2(\Omega, \delta\Omega)$, on obtient (3.9).

4. Résultats numériques.

On a testé les algorithmes 1 et 2 dans le cas du problème exposé dans le n^0 3. Ces algorithmes nous ont toujours permis d'obtenir le domaine critique ; cependant, il s'est révélé que le 2ème algorithme était plus rapide que le 1er, aussi nous allons exposer les résultats obtenus avec cet algorithme ; notons que dans le passage de Ω_m à Ω_{m+1} nous n'avons jamais eu à utiliser le point b .

On s'est fixé, pour tous les exemples :

$$\square = [0, 1] \times [0, 1]$$

On a utilisé une méthode à 5 points avec formation progressive des équations, pour la discrétisation variationnelle du problème (cf. CEA J. [2]).

L'état direct et l'état adjoint sont calculés avec la même matrice, par la méthode de relaxation avec paramètre optimal (cf. VARGA R. S. [6]).

Le coût d'une itération est donc :

La résolution de 2 systèmes linéaires,
et le calcul des t_m^i .

On a d'abord testé la méthode sur un exemple dont on connaissait à priori la solution, puis sur d'autres exemples choisis arbitrairement.

EXEMPLE 1. On a modifié la forme linéaire L de la façon suivante :

$$L(\Omega, \varphi) = \int_{\Omega} f(x) \varphi(x) dx + \int_{\Omega'} g(x) \varphi(x) dx$$

où f et g sont données dans $L^\infty(\square)$.

La fonction G définie en (3.7) devient :

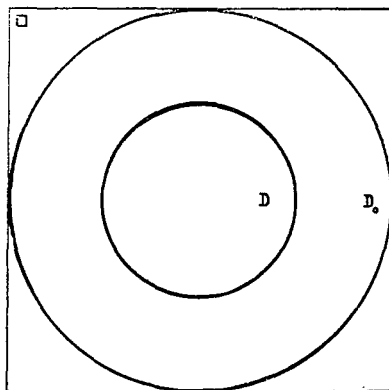
$$G(x) = (\beta - 1) \nabla y(x) \cdot \nabla p(x) + (f(x) - g(x)) p(x)$$

Les résultats du n° 3 restent valables dans ce cas.

On désigne par :

D_0 le disque de centre $\left(\frac{1}{2}, \frac{1}{2}\right)$ et de rayon $\frac{1}{2}$

D le disque de centre $\left(\frac{1}{2}, \frac{1}{2}\right)$ et de rayon $\frac{1}{4}$



On choisit la constante $\beta = 5$, et on définit les fonctions f, g, y_a , de la façon suivante : on pose

$$R^2(x, y) = \left(x - \frac{1}{2}\right)^2 + \left(y - \frac{1}{2}\right)^2$$

puis

$$y_1(x, y) = -480 \left(\frac{1}{4} - R^2 \right)^2 + 240 \left(\frac{1}{4} - R^2 \right) - 27$$

et

$$y_2(x, y) = 32 \left(\frac{1}{4} - R^2 \right)^2$$

et on considère :

$$f(x, y) = \begin{cases} y_1 - 3840 \left(\frac{1}{4} - 2R^2 \right) + 960 & \text{sur } D \\ -350 & \text{sur } \square \setminus D \end{cases}$$

$$g(x, y) = \begin{cases} -30 & \text{sur } D \\ y_2 + 1280 \left(\frac{1}{4} - 2R^2 \right) & \text{sur } D_0 \setminus D \\ 0 & \text{sur } \square \setminus D \end{cases}$$

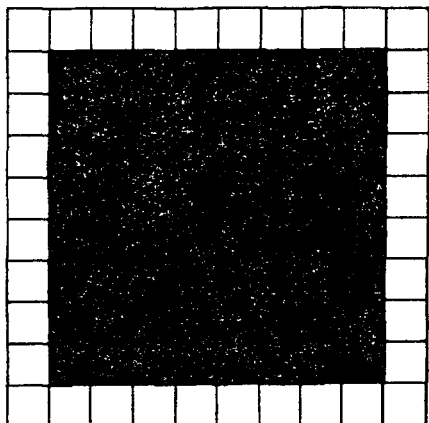
$$y_d(x, y) = \begin{cases} 2y_1 - 3840 \left(\frac{1}{4} - 2R^2 \right) + 1060 & \text{sur } D \\ 2y_2 + 1280 \left(\frac{1}{4} - 2R^2 \right) + 100 & \text{sur } D_0 \setminus D \\ 100 & \text{sur } \square \setminus D_0 \end{cases}$$

Cet exemple a été construit de telle manière que la condition (1.8) soit vérifiée par le disque D .

On a fait plusieurs essais avec des pas de discrétisation différents, et en prenant comme domaine initial $\widehat{\Omega}$ ou $\widetilde{\Omega}$.

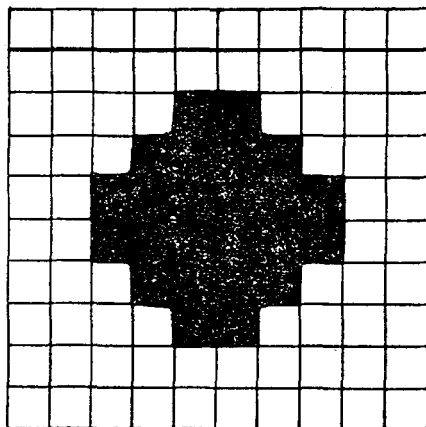
1^o essaipas : $\frac{1}{10}$

domaine initial



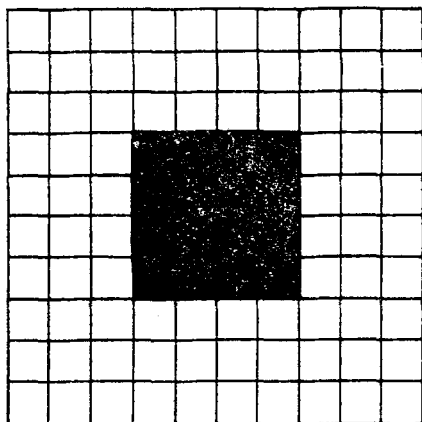
$$J(U) = 0.4388817E\ 05$$

itération 1



$$J(U) = 0.2541852E\ 05$$

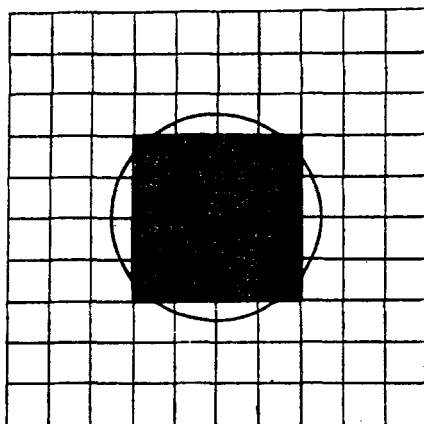
itération 2



$$J(U) = 0.2517691E\ 05$$

itération 3

domaine final

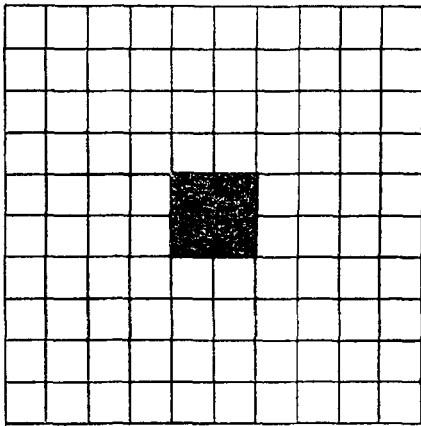


$$J(U) = 0.2517691E\ 05$$

2^o essai

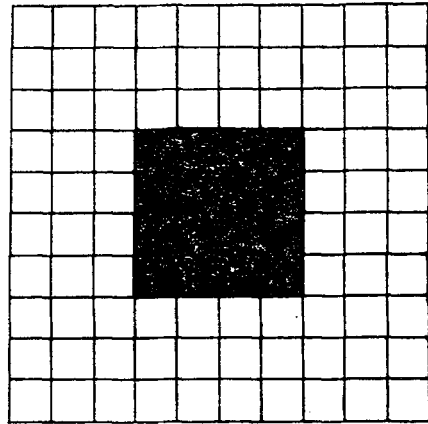
pas : $\frac{1}{10}$

domaine initial



$$J(U) = 0.2897452E\ 05$$

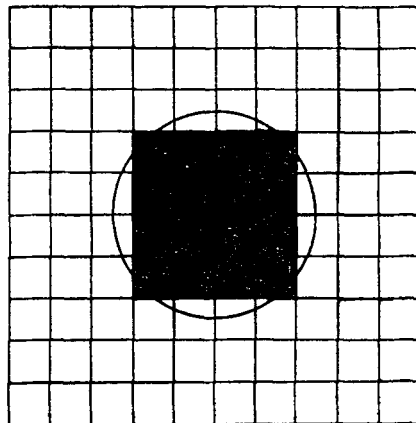
itération 1



$$J(U) = 0.2517691E\ 05$$

itération 2

domaine final

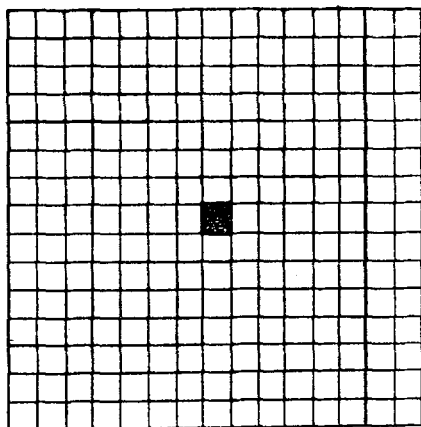


$$J(U) = 0.2517691E\ 05$$

3^e essai

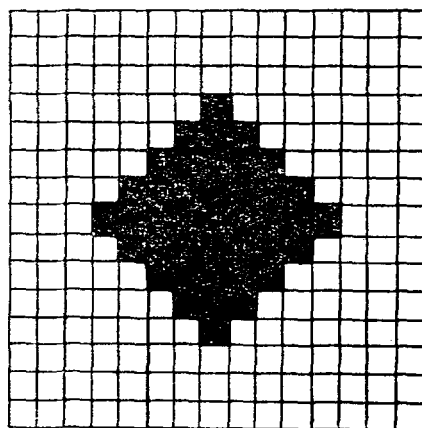
$$\text{pas} : \frac{1}{15}$$

domaine initial



$$J(U) = 0.2582189\text{E } 05$$

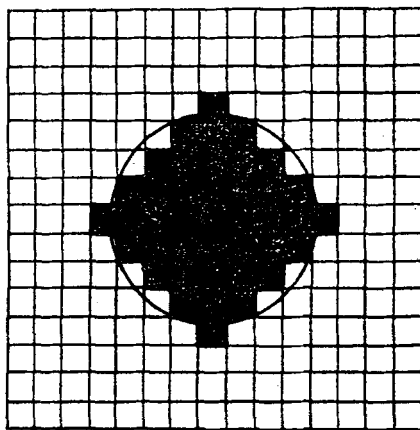
itération 1



$$J(U) = 0.2164358\text{E } 05$$

itération 2

domaine final

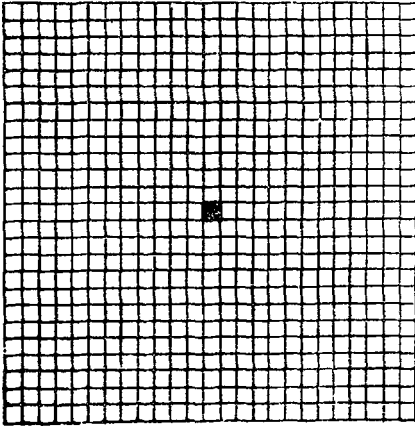


$$J(U) = 0.2164358\text{E } 05$$

4^e essai

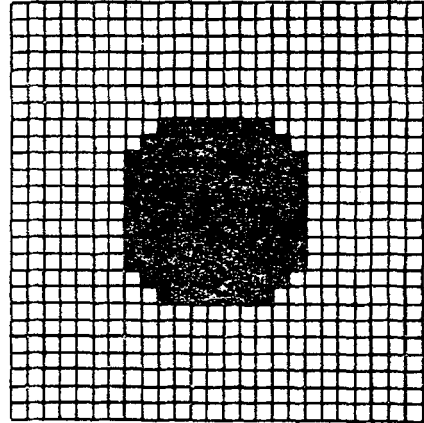
pas : $\frac{1}{25}$

domaine initial



$$J(U) = 0,2376851E\ 05$$

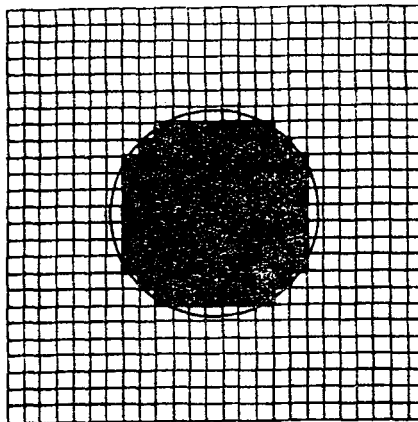
itération 1



$$J(U) = 0.2020848E\ 05$$

itération 2

domaine final



$$J(U) = 0.2020848E\ 05$$

EXEMPLE 2. On a encore choisi $\beta=5$.

Les fonctions f et y_d sont :

$$f(x, y) = \sin(2\pi x)$$

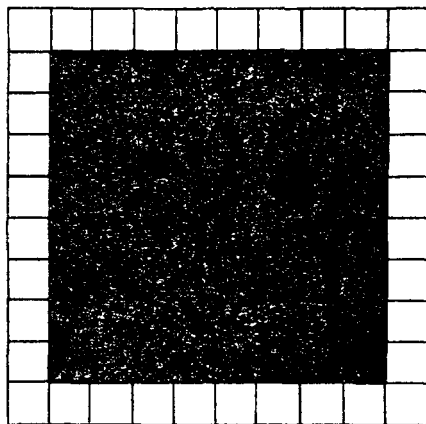
$$y_d(x, y) = \cos(2\pi x)$$

On a fait deux essais, en partant des

domaines $\hat{\Omega}$ et $\tilde{\Omega}$, avec le pas $\frac{1}{10}$.

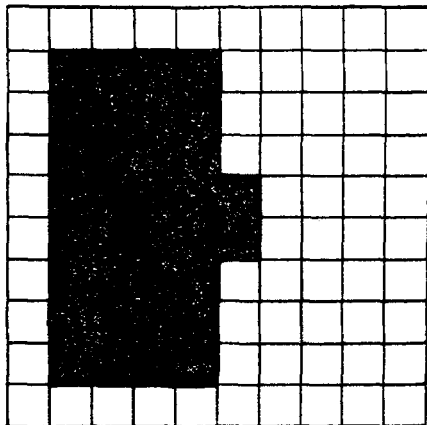
1^o essai

domaine initial



$$J(U) = 0.2743605E\ 00$$

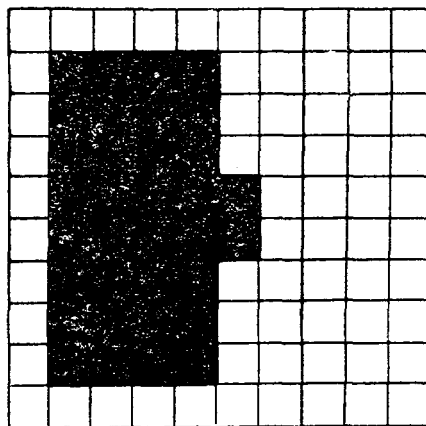
itération 1



$$J(U) = 0.2705618E\ 00$$

itération 2

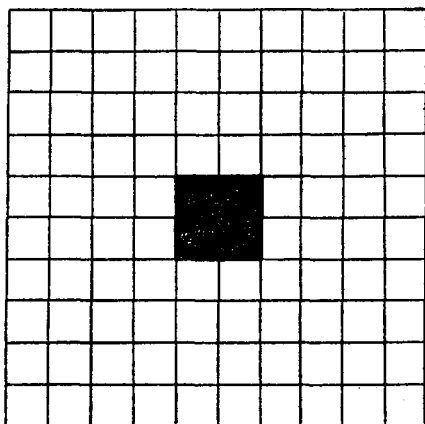
domaine final



$$J(U) = 0.2705618E\ 00$$

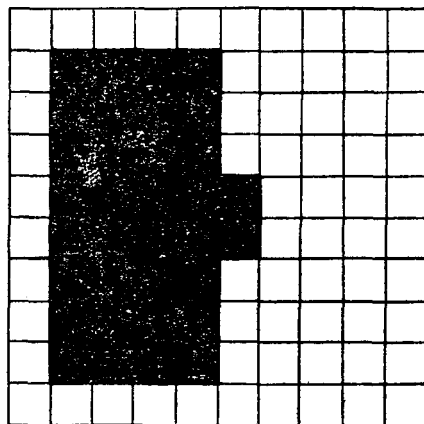
2^o essai

domaine initial



$$J(U) = 0.2720636E\ 00$$

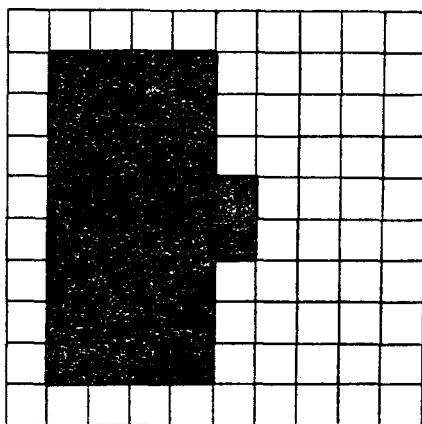
itération 1



$$J(U) = 0.2705618E\ 00$$

itération 2

domaine final



$$J(U) = 0.2705618E\ 00$$

EXEMPLE 3.

On conserve $\beta = 5$,
et on définit :

$$f(x, y) = \sin(2\pi x) \sin(2\pi y)$$

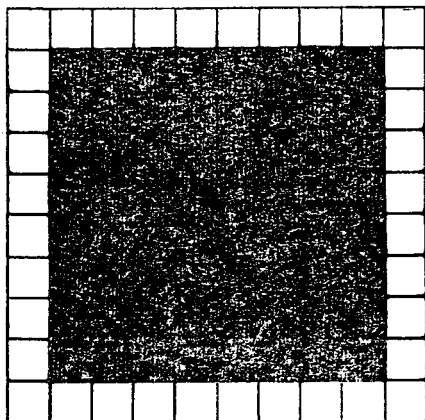
$$y_d(x, y) = \cos(2\pi x) \cos(2\pi y)$$

le pas étant toujours égal à $\frac{1}{10}$;

comme à l'exemple 2, on a fait deux essais en partant des domaines $\hat{\Omega}$ et $\tilde{\Omega}$.

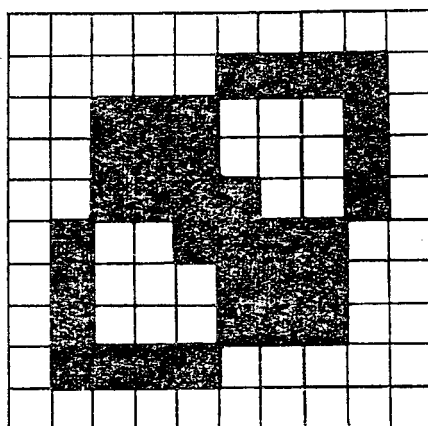
1^o *essai*

domaine initial



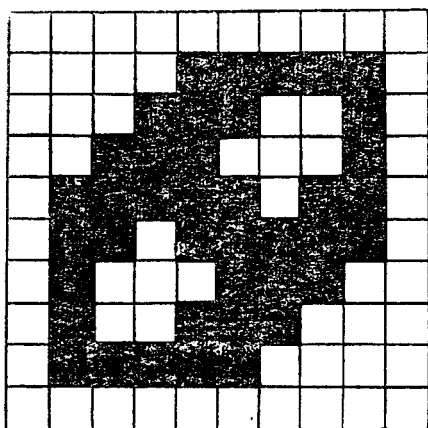
$$J(U) = 0.1288227E\ 00$$

itération 1



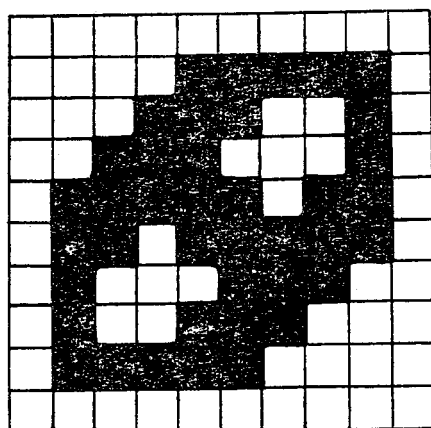
$$J(U) = 0.1285715E\ 00$$

itération 2



$$J(U) = 0.1284204E\ 00$$

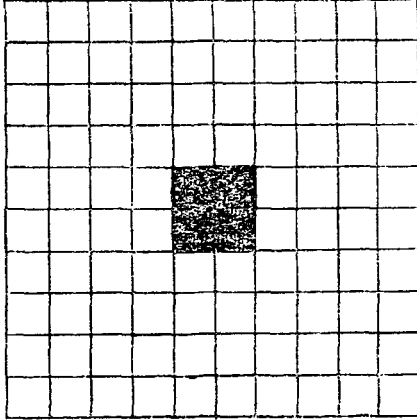
itération 3
domaine final



$$J(U) = 0.1284204E\ 00$$

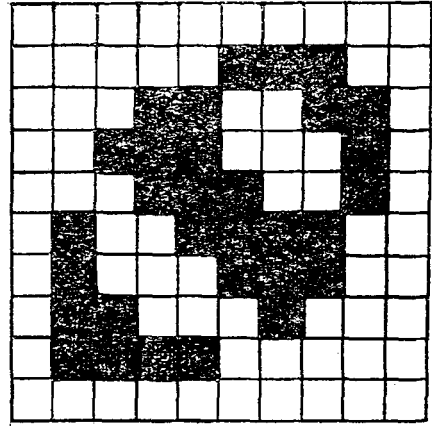
2^o essai

domaine initial



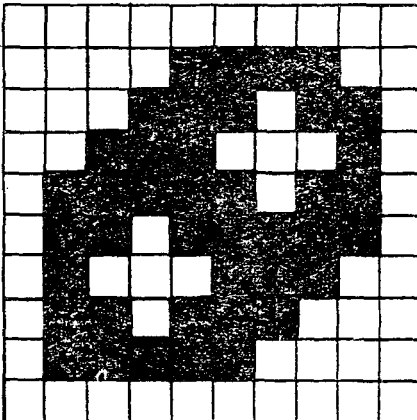
$$J(U) = 0.1289851E 00$$

itération 1



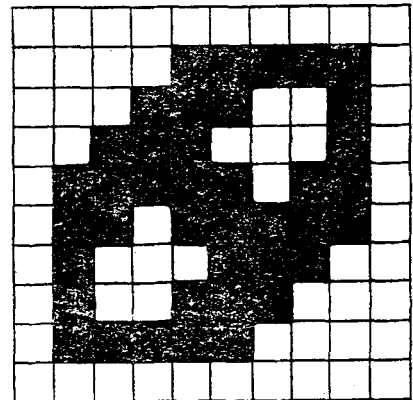
$$J(U) = 0.1286011E 00$$

itération 2



$$J(U) = 0.1284343E 00$$

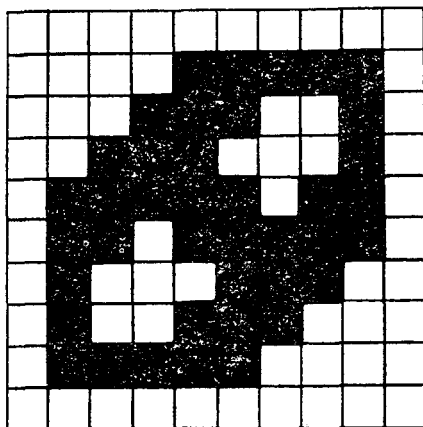
itération 3



$$J(U) = 0.1284204E 00$$

itération 4

domaine final



$$J(U) = 0.1284204E\ 00$$

On a fait de nombreux essais sur d'autres exemples à une ou deux variables ; les résultats sont toujours du type précédent.

BIBLIOGRAPHIE

- [1] BERGMAN, S., SCHIFFER, M., *Kernel functions and elliptic differential Equations in mathematical physics*, Academic Press, New-York, 1953.
- [2] CÉA, J., *Approximation variationnelle des problèmes aux limites*, Ann. Inst. Fourier 14, 2, 1964.
- [3] HADAMARD, J., *Mémoire sur le problème d'analyse relatif à l'équilibre des plaques élastiques encastrées*, oeuvres de Jacques HADAMARD, C. N. R. S., Paris, 1968.
- [4] KOENIG, M., ZOLÉSIO, J. P., *Localisation d'un objet de forme convexe donnée*, C. R. Acad. Sci. Paris, 274, 850-852, 1972.
- [5] LIONS J. L, MAGENES, E., *Problèmes aux limites non homogènes et applications*, Dunod, Paris 1968, et traduction anglaise, Springer Verlag, Berlin 1972.
- [6] VARGA, R. S., *Matrix iterative analysis*, Prentice-Hall, New-Jersey, 1960.